

THESIS / THÈSE

MASTER EN BIOCHIMIE ET BIOLOGIE MOLÉCULAIRE ET CELLULAIRE À FINALITÉ APPROFONDIE

Etude de l'implication du monoxyde d'azote dans les mécanismes physiopathologiques sous-jacents de la néphropathie liée à l'obésité dans un modèle murin

Depommier, Clara

Award date:
2014

Awarding institution:
Universite de Namur

[Link to publication](#)

General rights

Copyright and moral rights for the publications made accessible in the public portal are retained by the authors and/or other copyright owners and it is a condition of accessing publications that users recognise and abide by the legal requirements associated with these rights.

- Users may download and print one copy of any publication from the public portal for the purpose of private study or research.
- You may not further distribute the material or use it for any profit-making activity or commercial gain
- You may freely distribute the URL identifying the publication in the public portal ?

Take down policy

If you believe that this document breaches copyright please contact us providing details, and we will remove access to the work immediately and investigate your claim.

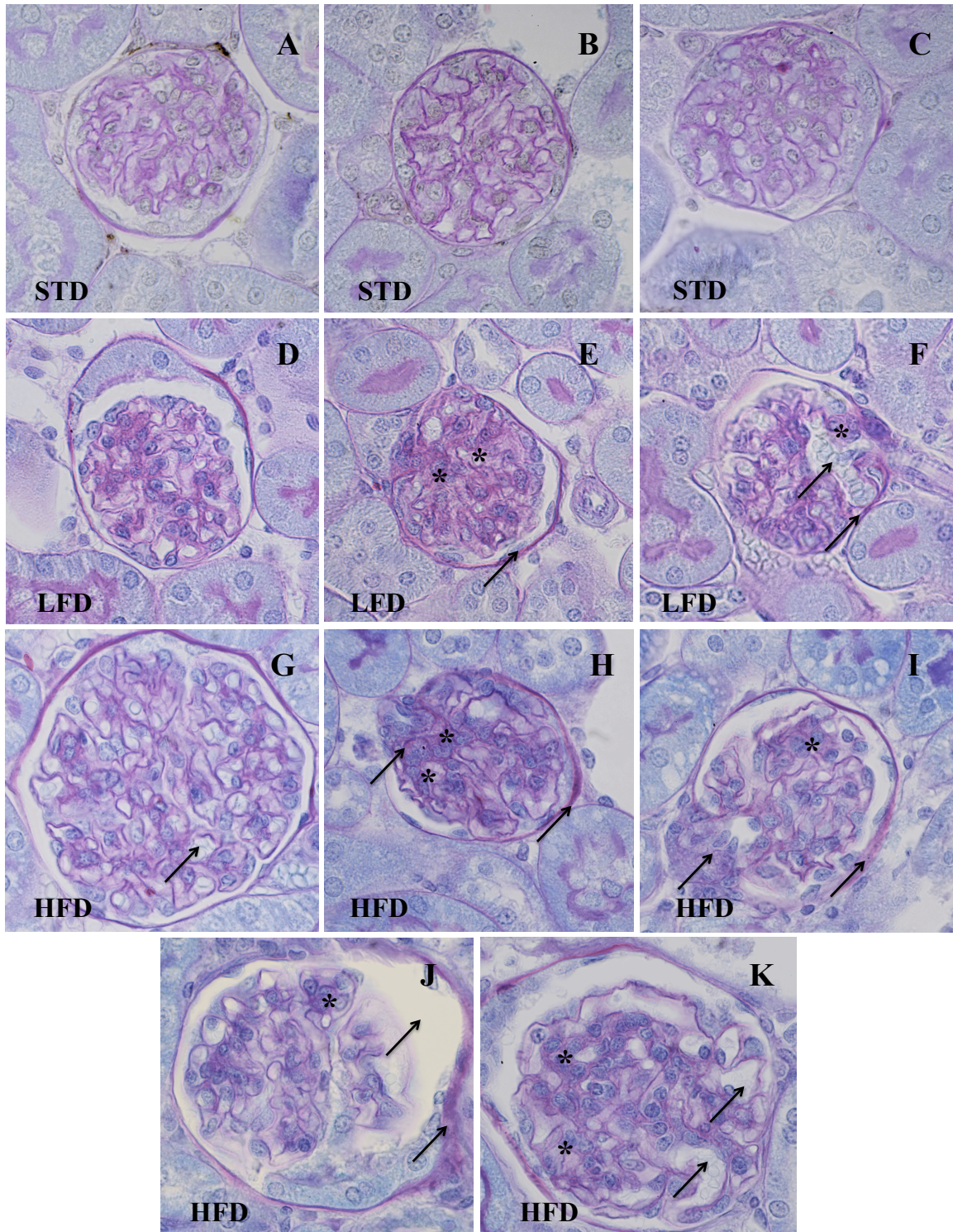


Planche 2. Impact d'un régime HFD sur l'histologie glomérulaire. Photographies représentatives des changements de la matrice glomérulaire provenant de coupes de reins fixés en paraffine et colorées avec du PAS pour les groupes de souris STD (A, B, C), LFD (D, E, F) et HFD (G, H, I, J) à la semaine 16. Les flèches montrent des zones de glomérulosclérose (H,I) ; des capillaires et les capsules de Bowman dilatés (F, G, J, K) ; un épaissement de la paroi de Bowman (E, F, H, I, K). Les Astérisx montrent des zones importantes d'expansion mésangiale (E-K). Grossissement : 600 X.

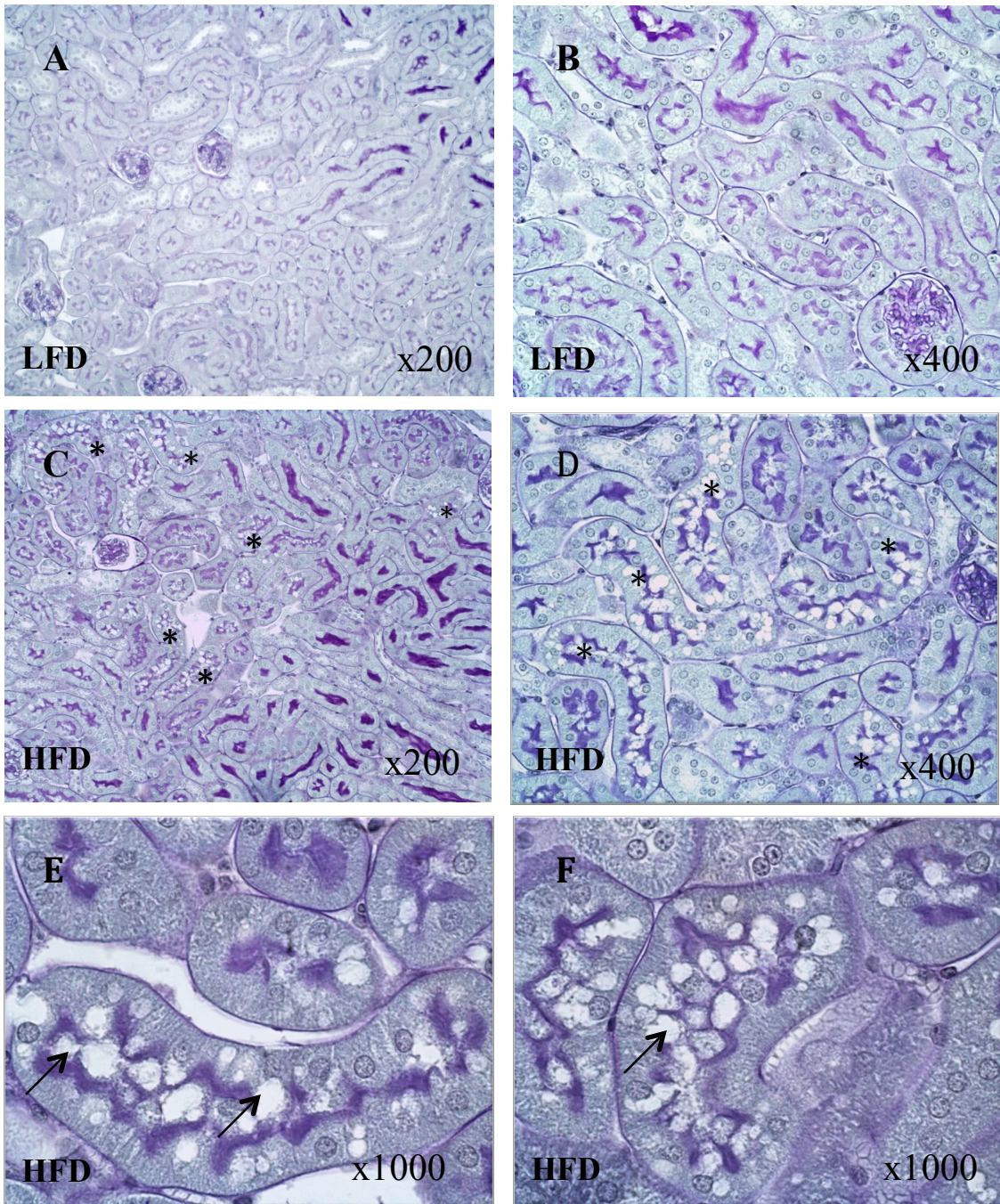


Planche 3 I. Impact d'un régime HFD sur l'histologie tubulaire. Photographies représentatives des cellules tubulaires vacuolées des tubules contournés proximaux chez les souris LFD (A, x200 – B x400) et chez les souris HFD (C, x200 – D, x400 – E/F, x1000) à la semaine 16. Les astérisx montrent les cellules tubulaires proximales vacuolées ; les flèches montrent l'altération de la bordure en brosse.